

## سینتیک احیاء مستقیم مولیبدنیت با هیدروژن

خطیب‌الاسلام صدرزیاد (دانشیار)

حسن شریف، حمیدرضا گل‌آقایی، ناصرالدین ناصح‌زاده

دانشکده مهندسی متالورژی

### چکیده

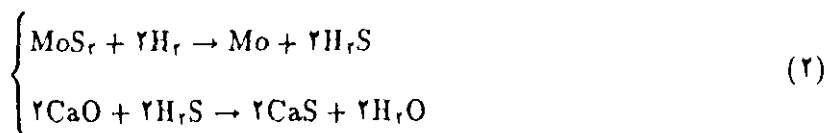
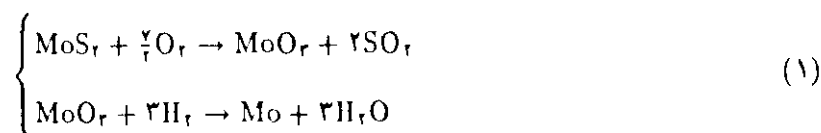
سینتیک احیاء مستقیم کنسترات مولیبدنیت تولید شده در مجتمع مس سرجشمه کرمان توسط گاز هیدروژن بکار در یک راکتور آزمایشی از جنس فولاد زنگ نزن و بار دیگر از طریق ترموگراویمتری در فاصله دماهای ۶۰۰ تا ۹۰۰ درجه سانتی‌گراد تحقیق شد. از طریق مقایسه اطلاعات آزمایشی با الگوهای نظری مربوط به واکنشهای گاز-جامد، تأثیر شرایط عمل بر مرحله کنترل‌کننده سرعت احیاء مشخص گردید. تطابق دیگر اهمیت کاهش وزن بر حسب زمان با فرمولهای سینتیکی مربوط به قطعات متخلخل با استفاده از نرم‌افزار MKS نشان داد که مکانیزم احیاء با دبی هیدروژن کمتر از حدود  $4 \text{ cm}^3/\text{sec}$  از نوع نفوذ خارجی در لایه گاز است؛ در حالی که با دبی بیش از حدود  $4 \text{ cm}^3/\text{sec}$  از نوع نفوذ داخلی در تشر مولیبدن احیاء شده با انرژی تحریک ظاهری حدود ۴۰ کیلوژول بر مول است. تغییر میزان تخلخل در فاصله مورد بررسی تأثیری بر مکانیزم احیاء نداشت ولی مخلوط کردن آهک با مولیبدنیت سبب افزایش سرعت احیاء و متوقف شدن تصاعد گاز سمی سولفید هیدروژن شد. مکانیزم احیاء در حضور آهک از نوع شیمیایی با انرژی تحریک ظاهری حدود ۱۵۰ کیلوژول بر مول و سرعت تحول به مراتب بیشتر از حالت بدون آهک بود. فرمولی برای مکانیزم احیاء در این حالت تعیین و پیشنهاد شد.

## مقدمه

روش سنتی تولید مولیبدن مشتمل بر مراحل متعدد و پیچیده (الف) تشویه با هوا، (ب) پر عیار سازی اکسید  $\text{MoO}_2$  به روش شیمیایی و (ج) احیاء  $\text{MoO}_2$  توسط هیدروژن است. بازدهی کم عملیات به سبب تنوع پیچیدگی و کندی فرایندها [۱] سبب ایجاد انگیزه برای تحقیق در مورد شیوه‌های نو شده است [۲، ۳، ۴]. از جمله این شیوه‌ها، تجزیه حرارتی مولیبدنیت در دمای ۱۶۰۰ تا ۱۷۰۰ درجه سانتی‌گراد تحت خلا، احیاء متالورژیک سولفید مولیبدن از طریق جایگزینی فلزات دیگر مانند قلع و سرب، الکترولیز ترکیبیهای مذاب مولیبدن و کلربن کردن و اکسی‌کلربن کردن سولفید مولیبدن است که هیچ کدام تاکنون به مقیاس تجاری نرسیده‌اند [۹-۵].

یک راه حل متفاوت برای تولید مولیبدن، احیاء مستقیم مولیبدنیت توسط هیدروژن است. این روش اگرچه مدتی است که مورد توجه قرار گرفته است [۱۰]، اما به لحاظ مشکلات عدیده‌ای همچون آهسته بودن نرخ تولید، آلوده ساختن محیط به لحاظ تولید گاز سمی  $\text{H}_2\text{S}$  و ناشتاخته بودن مکانیزم فرایند هنوز به نتیجه نهایی نرسیده است. در عین حال معلوم شده است که در صورت افزایش آهک به مولیبدنیت، نه تنها بر سرعت واکنش احیاء به میزان چندین برابر افزوده می‌شود، بلکه مشکل خروج گاز سمی  $\text{H}_2\text{S}$  نیز حل می‌گردد [۱۱].

اگرچه افزایش سرعت احیاء مستقیم در اثر حضور آهک امیدهای تازه‌ای را در مورد امکان تبدیل مستقیم مولیبدنیت به مولیبدن بوجود آورده است، لکن هنوز سرعت احیاء به میزانی که برتری روش احیاء مستقیم نسبت به روش سنتی تشویه و احیاء را ثابت کند، نرسیده است. به علاوه مشکل جداسازی مولیبدن از سولفید کلسیم نیز باید مورد تحقیق و بررسی دقیق‌تری قرار گیرد. با این وجود، به نظر می‌رسد تحقیق در مورد سرعت و مکانیزم فرایند احیاء مستقیم مولیبدنیت همراه با آهک به دلیل موقتیهای نسبی قبلی در این زمینه و با توجه به کاهش مصرف هیدروژن به میزان ۵۰ درصد که از مقایسه واکنشهای ۱ و ۲ زیر مشهود است، تواند به تابع نمایخانه منجر شود:



در این مقاله جدیدترین تابع تحقیقات انجام شده در دانشکده مهندسی متالورژی دانشگاه صنعتی شریف در مورد احیاء مستقیم کنسنترات مولیبدنیت ساخت مجتمع مس سرچشمه کرمان توسط هیدروژن ارائه شده و نحوه تأثیر عوامل مختلف بر سرعت و مکانیزم احیاء به منظور تعیین روش‌های عملی افزایش باردهی و کاهش ضایعات گار و فلز بررسی شده است.

### آزمایشها و نتایج

احیاء مستقیم مولبیدنیت توسط هیدروزن به دو طریق مختلف انجام شد. ذیل‌ا به شرح هر دو طریق و نتایج بدست آمده می‌پردازیم:

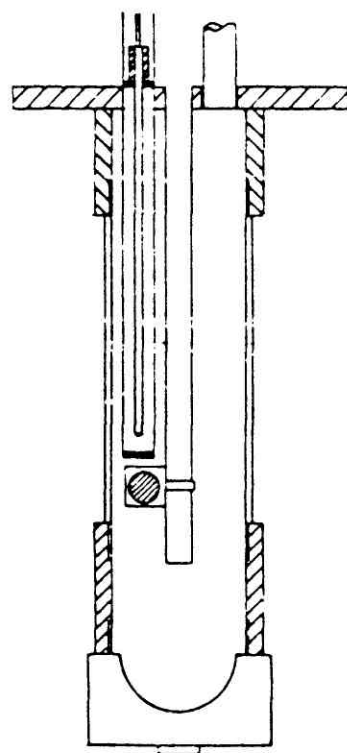
الف- راکتور لوله‌ای عمودی، گندله‌های کروی شکل و متخلخل با استفاده از پودر مولبیدنیت با تجزیه شیمیایی و مشخصات فیزیکی داده شده در جدول ۱ با آهک و بدون آهک ساخته شدند. برای ساخت گندله‌های دارای آهک، از پودر آهک تجاری با ترکیب  $\text{Ca}(\text{OH})_2$  استفاده شد سپس با مولبیدنیت به نسبت وزنی معین مخلوط و آسیاب گردید تا نرم و یکنواخت شد. مخلوط با افزودن آب و حرکات دست به گندله تبدیل گشته و در دمای  $150^\circ\text{C}$  درجه سانتی‌گراد و به مدت ۲ ساعت خشک شد. نسبت مولبیدنیت به آهک در گندله‌های نهایی ۵۷ و ۴۳ و میانگین اندازه ذرات پودر در گندله آهک دار  $140\text{ }\mu\text{m}$  میکرون بود. گندله‌های کروی و پودر فشرده دارای آهک و بدون آهک در راکتور لوله‌ای عمودی نشان داده شده در شکل ۱ قرار داده شده و توسط جربان گاز هیدروزن با دبی ۳۰ سانتی‌متر مکعب بر ثانیه و دمای  $950^\circ\text{C}$  تا  $765^\circ\text{C}$  درجه سانتی‌گراد احیاء شدند. گاز خروجی توسط محلول سولفات مس آمونیاکی جذب و از طریق توزیع رسوب  $\text{CuS}$  تجزیه شد. درصد گوگرد باقیمانده در گندله‌های بدون آهک و به صورت سولفید مولبیدن در نمونه‌های آهکدار نیز از طریق احتراق توسط دستگاه اشتولاین تعیین گردید. نتایج آزمایشها به صورت درصد احیاء بر حسب زمان در شکل ۲ نشان داده شده است. در جدول ۲ چند نمونه از مقادیر درصد احیاء که از طریق تجزیه شیمیایی نمونه‌های آهکدار تعیین شده‌اند، با مقادیری که از کاهش وزن بدست آمده‌اند، مقایسه شده است. نمونه‌های مورد استفاده از طریق فشردن مخلوط مولبیدنیت با آهک به نسبت مولی یک به دو در داخل ظرف فلزی استوانه‌ای شکل به قطر  $2\text{ cm}$  سانتی‌متر تهیه شده‌اند. سپس ظرف حاوی این مواد در کوره لوله‌ای عمودی به وسیله سیم نازک فلزی آویخته شده و گاز هیدروزن از روی آن عبور کرده است. نتایج آزمایشها نشان‌دهنده تفاوت قابل توجه نتایج به علت پیچیدگی مراحل انحلال، جداسازی و احتراق در عملیات نسبتاً طولانی تجزیه است.

جدول ۱ مشخصات شیمیایی و فیزیکی پودر مولبیدنیت مورد استفاده، برای احیاء مستقیم با هیدروزن.

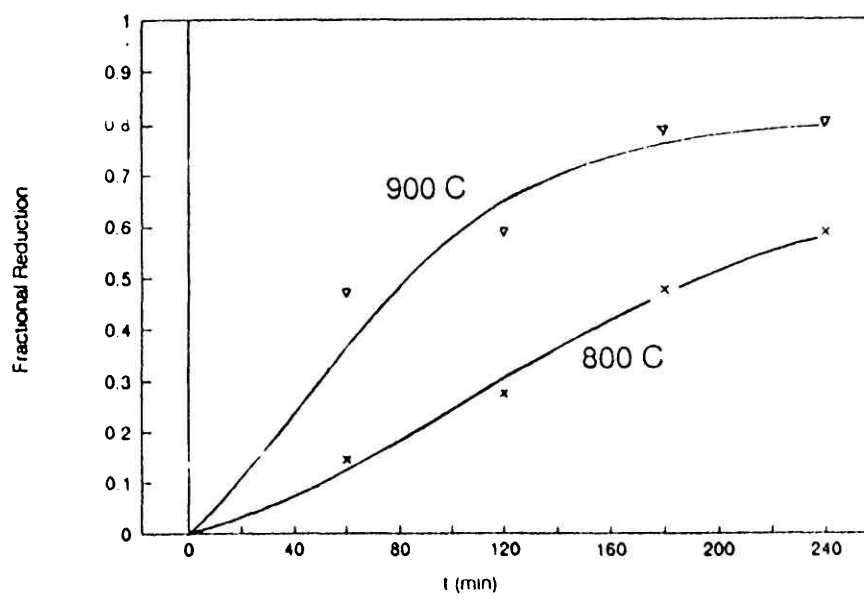
نمونه شماره ۱ (درصد وزنی)	نمونه شماره ۲ (درصد وزنی)	ماده
۵۵,۸	۵۵,۸	Mo
۳۸,۳۶	۳۸,۳۶	S
۱,۳۸	۲,۲۵	Fe
۱,۳۸	۲,۵	Cu
۰,۰۸	۱	سایر

چگالی توری =  $4,8 \text{ g/cm}^3$  بر سانتی‌متر مکعب

قطر ذرات پودر =  $140\text{ }\mu\text{m}$  سانتی‌متر



شکل ۱ نمایش تصویری مقطع راکتور لوله‌ای عمودی برای احیاء مستقیم گندله‌های مولبیدنیت توسط گاز هیدروژن.



شکل ۲ نتایج احیاء مستقیم گندله‌های مولبیدنیت بدون آهک در راکتور لوله‌ای عمودی. درصد احیاء از طریق تجزیه شبیه‌سی گوگرد باقیمانده در نمونه‌ها تعیین شده است.

جدول ۲ مقایسه نمونه‌های از نتایج تجزیه شبیه‌سازی و نتایج آزمایش‌های کاهش وزن پس از ۶۰ دقیقه احیاء توسط هیدروژن در حضور آهک.

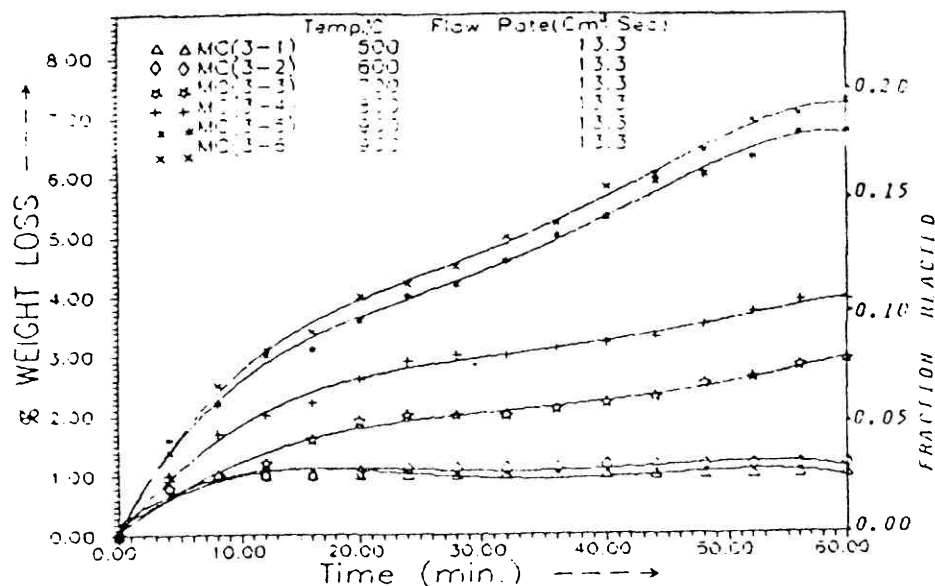
(گرم) بر تانیه)	دما (سانسی‌گراد)	دما دیب هیدروژن	کسر احیاء	وزن نمونه	
				(سانسی‌گراد)	تجزیه شبیه‌سازی ولذت‌سنجی
۰,۸۶	۰,۷۷	۵,۱	۸۰۰	۱,۲۸	
۰,۸۲	۰,۷۰	۲,۱	۸۵۰	۱,۳۰	
۰,۸۲	۰,۷۷	۲,۱	۹۰۰	۱,۰۷	
۰,۹۱	۰,۹۲	۲,۲	۹۵۰	۰,۸۹	

بعد ترازوی حرارتی، نمونه‌های متخلخل استوانه‌ای شکل با قطر ۱۳/۵ و ضخامت حداقل ۱/۸ میلی‌متر از طریق پرس کردن بود مولیدنیت توسط یک سیستم سنبه و ماتریس با فشار ثابت تهیه شده و در دمای ۱۵۰ درجه سانتی‌گراد به مدت ۳ ساعت خشک شدند. نمونه‌های دارای آهک از طریق پرس کردن مخلوط مولیدنیت و آهک با نسبت‌های مولی ۱ به ۱، ۱ به ۲ و ۱ به ۳ (نسبت‌های وزنی ۰,۹۵ و ۱,۴۳، ۲,۸۶ و ۱,۴۳) ساخته شدند. برای احیاء نمونه‌ها از ترازوی حرارتی حساس مدل TGS ساخت شرکت پرکین-المر Perkin-Elmer و گاز هیدروژن تصفیه شده استفاده شد. خطای اندازه‌گیری برای دما حداقل ۲ درجه سانتی‌گراد و برای توزین حداقل یک درصد بود. برخی از آزمایشها چندین بار تکرار شد و از قابلیت تولید مجدد اطلاعات اطمینان حاصل شد. نمونه‌ها در گفهای از جنس پلاتین به قطر داخلی ۵/۸ و عمق ۱/۸ میلی‌متر قرار داده شدند. گفه توسط سیمی به طول ۱۴۰ میلی‌متر از جنس پلاتین به قسمت توزین آویخته شد. گفه پس از بارشدن، در داخل یک کوره مقاومتی با قطر داخلی ۲۵ و ارتفاع ۲۲ میلی‌متر قرار گرفت و حرارت داده شد. دمای نمونه توسط یک ترموموکوب پلاتین-پلاتین رودیوم اندازه‌گیری شد. نوک ترموموکوب در گف کوره زیر نمونه قرار داشت. نمونه، گفه، کوره و سایر تجهیزات کلاً داخل یک لوله شفاف کوارتز قرار گرفته و از محیط کاملاً جدا شده بود. شرح کامل روش آزمایش و تجهیزات مربوط در [۱۱] آمده است.

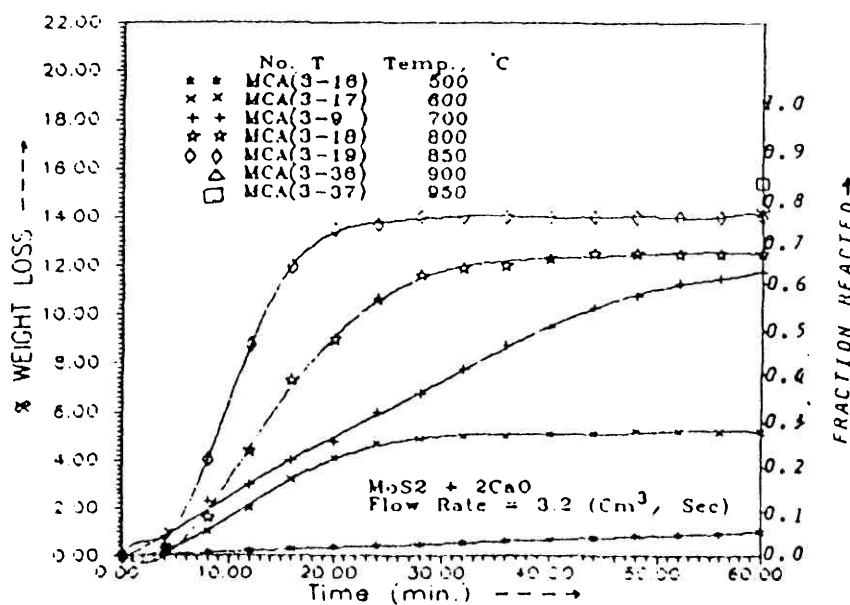
نمونه‌هایی از نتایج به دست آمده در این آزمایشها به صورت کسر احیاء بر حسب زمان، دما و دبی گاز در شکل‌های ۳ و ۴ نمایش داده شده است. این نتایج از روی اطلاعات حاصل از توزین پیوسته نمونه‌ها به دست آمده‌اند. از طریق تجزیه شبیه‌سازی فرصهای احیاء شده درصد گوگرد باقیمانده در فرص و از آنجا درصد احیاء مولیدنیت تعیین شد. اما به دلیل کوچک بودن فرصهای، نتیجه تجزیه شبیه‌سازی از دقت کافی برخوردار نبود و لذا صرفاً برای مقایسه مورد استفاده قرار گرفت.

### کاهش وزن اولیه

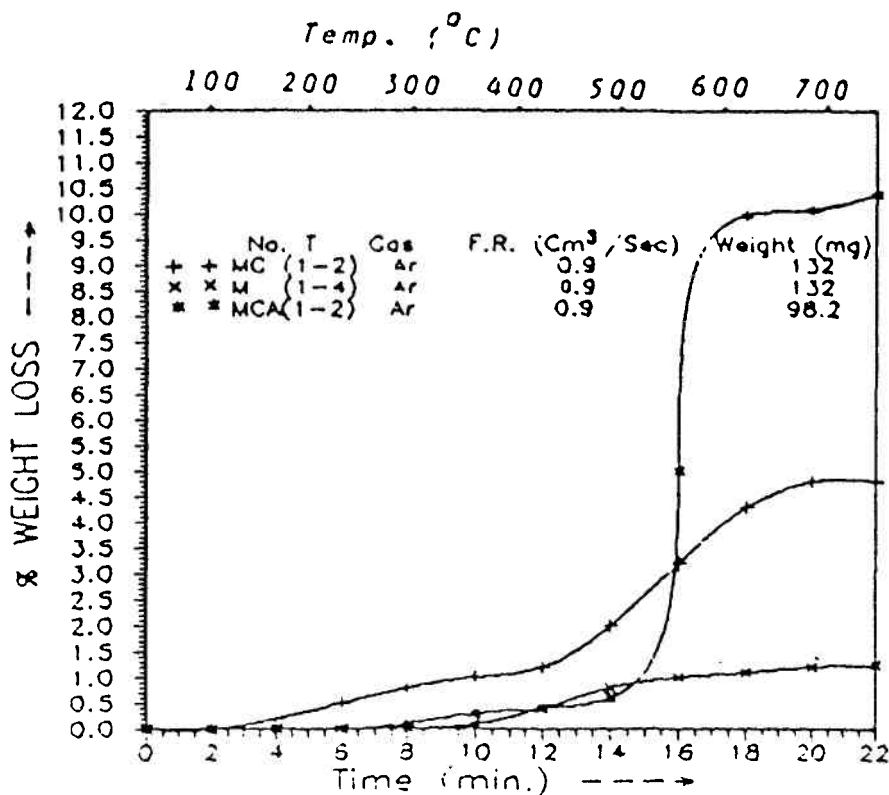
در هنگام حرارت دادن نمونه‌های سولفید مولیدن خالص، کنسترات مولیدنیت مس سرچشمه و مخلوط کنسترات مولیدنیت با آهک تحت گازهای نیتروژن، آرگون و هیدروژن تا ۱۲ درصد کاهش وزن در دماهای بین ۳۷۰ تا ۷۰۰ درجه سانتی‌گراد اتفاق می‌افتد و این در همه نمونه‌ها نیز تکرار می‌شد (شکل ۵). محققینی که روی احیاء سولفیدهای فلزی کار کرده‌اند، هیچ اشاره‌ای به این کاهش نداشته‌اند. اما وجود کاهش در نمونه‌های ما کاملاً مشهود بود. در مورد علت کاهش اولیه وزن مولیدنیت تحقیقات



شکل ۳ کاهش وزن قرصهای مولبیدنیت خالص بر حسب زمان، دما و دبی گاز.



شکل ۴ کاهش وزن قرصهای مولبیدنیت دارای آهک بر حسب زمان، دما و دبی گاز. نقاط آربابشی مربوط به دماهای ۹۰۰ و ۹۵۰ درجه سانتی گراد با استفاده از کوره لوله ای عمودی بدست آمده اند.



شکل ۵ کاهش وزن اولیه نمونه های (الف) سولفید مولبیدن خالص، (ب) کنسترات مولبیدنیت مس سرجشمه و (ج) مخلوط کنسترات مولبیدنیت با آهک با نسبت مولی ۲ به ۱ در هنگام گرم کردن تحت گاز خنثی.

منصلی انجام شد و نتایج زیر به دست آمد

الف) کاهش وزن سولفید مولبیدن خالص در محیط خنثی در فاصله ۳۷۰ تا ۵۵۰ درجه سانتی گراد مربوط به انحراف استوکیومتری و خروج گوگرد از نمونه در اثر گرم شدن است.

ب) کاهش وزن مولبیدنیت مجتمع مس سرجشمه در محیط خنثی در فاصله ۴۳۰ تا ۷۰۰ درجه سانتی گراد نه تنها به علت خروج گوگرد بر طبق مکانیزم (الف) است، بلکه به دلیل خروج گوگرد از سولفید مشترک مس و آهن (کالکوبیریت) همراه مولبیدنیت نیز می باشد.

ج) کاهش وزن مخلوط مولبیدنیت و آهک در محیط خنثی در فاصله ۴۰۰ تا ۷۰۰ درجه سانتی گراد نه تنها به علت خروج گوگرد بر طبق مکانیزم (ب) است، بلکه به علت خروج رطوبت جذب شده توسط آهک در هنگام ساختن نمونه نیز می باشد. باید توجه داشت که آهک به شدت جاذب رطوبت بوده و حتی در حالت به ظاهر خشک نیز می تواند دارای درصدی از رطوبت باشد.

### مکانیزم فرایند

اطلاعات تجربی مربوط به درصد احیاء مولیدنیت با هیدروژن توسط نرم افزار MKS با معادلات سرعت واکنشها (جدول ۳) تطبیق داده شد و بهترین حالت در هر مورد مشخص شد. هر دو سری آزمایش‌های احیاء مستقیم گندله کروی در کوره لوله‌ای عمودی و قرص استوانه‌ای در ترازوی حرارتی نشان دادند که با دبی هیدروژن کوچکتر از ۴ سانتی‌متر مکعب در ثانیه، سرعت احیاء مولیدنیت بدون حضور آهک، توسط انتقال در لایه مرزی گاز کنترل می‌شود. اما وقتی دبی گاز بیش از این مقدار است، نفوذ در لایه مولیدن احیا شده، کنترل‌کننده سرعت است.

تحت شرایط به کار گرفته شده در آزمایش‌های این تحقیق، مسجل شد که در همه موارد نفوذ در حفره‌های متخلخل و یا واکنش شیمیایی بین هیدروژن و سولفید مولیدن هیچ‌یک نمی‌تواند کنترل‌کننده سرعت تحول باشد. با این وجود، تنها راه توسعه فرایند احیاء در این شرایط، کاهش ابعاد پودر مولیدنیت بود که انجام آن نیز با توجه به مشکلات فنی کار، به سهولت امکان‌پذیر به نظر نمی‌رسید. لذا استفاده از آهک به عنوان عامل توسعه‌دهنده فرایند مورد تحقیق قرار گرفت.

انطباق نتایج آزمایش با الگوهای سینتیکی نشان داد که مکانیزم کنترل‌کننده احیاء در حضور آهک، در دبی‌های گاز کمتر از  $4 \text{ cm}^3/\text{sec}$  انتقال در لایه گاز در خارج قرص بود. اما وقتی دبی گاز از این مقدار بیشتر می‌شد، سینتیک شیمیایی با انرژی تحریک حدود  $150 \text{ KJ/mol}$  کنترل‌کننده تحول بود. استفاده از نرم افزار MKS بهترین معادله سرعت را در این حالت از درجه دوم نسبت به هیدروژن و با ثابت سرعت زیر معرفی کرد

$$K = 1,69 \times 10^5 \exp\left(\frac{-18065}{T}\right)$$

جدول ۳ کسر زمانی احیاء نمونه بر اساس الگوی واکنش قطمه متخلخل با گاز [۱۲].

$\frac{t}{\tau} = g_{F_g}(X) + \underbrace{\phi_g^r P_{F_g}(X)}_{\substack{\text{نفوذ خارجی} \\ \text{احیاء کامل}}} + \underbrace{\phi_p^r P_{F_p}(X)}_{\substack{\text{نفوذ در حفره} \\ \text{واکنش شیمیایی}}} + \underbrace{\phi_p^r \frac{q_{F_p}(X)}{Sh^*}}_{\text{متخلخل}}$		
$\phi_p^r = \frac{(1-\epsilon)KF_p}{\tau D_g} \left( \frac{V_p}{A_p} \right)^r \frac{A_g}{F_g V_g}$		
Geometry      Disc ( $F_g=1$ )      Sphere ( $F_g=3$ )		
$g_{F_g}(X)$	$X$	$1 - (1-X)^{1/r}$
$P_{F_g}(X)$	$X^r$	$1 + 2(1-X) - 2(1-X)^{1/r}$
$q_{F_g}(X)$	$X$	$X$
$\phi_g^r$	$\frac{KV_g}{\tau D_g A_g}$	$\frac{KV_g}{\tau D_g A_g}$
$Sh^*$	$\frac{A_g}{D_g V_g}$	$\frac{A_g}{D_g V_g}$

از آنجاکه اطلاعات دقیقی در مورد مراحل واکنش احیاء مستقیم مولبیدنیت در حضور آهک تا تاریخ انجام این تحقیق ارائه نشده بود، مطالعات نسبتاً منفصلی در این خصوص انجام شد که نتیجه نهایی آن مکانیزم احیاء مستقیم را به صورت زیر ارائه کرد:



از آنجاکه ارزی تحریک واکنش ۳ حدود دو برابر ارزی تحریک واکنش ۴ برآورد شده بود، مرحله کنترل کننده تحول در واکنش ۳ پیش بینی شد. در نتیجه ضمن آشکار شدن نحوه تأثیر آهک، ضرورت فراهم ساختن ارزی تحریک حرارتی به منظور توسعه باز هم بیشتر فرایند در حضور آهک آشکار شد.

#### مراجع

- [۱] صدرزاد، «بررسی نحوه بازیابی مولبیدن از کنسترات»: سینتار هفته معدن، تبریز، اردیبهشت ۱۳۶۸، ۳۲۵-۳۲۳.
- [۲] Scheiner, Lindstrom and Pool, "Extraction and Recovery of Molybdenum and Rhenium from Molybdenite Concentrates by Electrooxidation: Process Demonstration": Bureau of Mines Report of Investigations, (1976), 1-12.
- [۳] Dorfler and Laferty, "Review of Molybdenum Recovery Processes": Journal of Metals, (May 1981), 48-54.
- [۴] Sutulov, "Molybdenum and Rhenium Recovery from Porphyry Coppers"; University of Conception, Chile, (1970), 1-242.
- [۵] Scholz, Doane and Timmons: Trans. TMS-AIME, 221, (1961), 356-364.
- [۶] Venkataramani, Bose and Jena: Trans. Indian Inst. Metals, 20, 1(1970), 13-16.
- [۷] Suri and Gupta: Metall. Trans. B, 6B,(1975), 453-456.
- [۸] Nair, Sathiyamoorthy, Bose, Sundaresan and Gupta: Metall. Trans. B, 18B, (1987), 445-449.
- [۹] Nair, Sathiyamoorthy, Bose and Gupta, "Studies on Oxychlorination of MoS in a Fluid Bed Reactor": Metall. Trans. B, 1988, 669-674.

- [۱۰] صدرتزاد، کبیری، دماوندی و صمدیان: امیرکبیر, ۱۵, ۴ (۱۳۶۹)، ۱۱۹-۱۲۶.
- [۱۱] شریف، «رساله کارشناسی ارشد»، دانشکده مهندسی متالورزی - دانشگاه صنعتی شریف، (۱۳۷۲)، ۸۶-۸۹.
- [12] Sadrnezhaad, Gharavi and Namazi, "Rate and Mechanism of Metallurgical Processes: Computer Simulation": Submitted for Publication.